

出典：平成17年7月13日開催第4回福島漁業資料会議資料・浅羽海岸サンドバイパス検討委員会（静岡県）
<https://www2.pref.shizuoka.jp/all/file/download060.nsf/page>

2. サンドバイパスシステムについて

2. 1	基本条件	• • • • •	資料-2-1
2. 2	漂砂解析	• • • • •	資料-2-3
2. 3	ジエットポンプの設計および性能試験結果	• • • • •	資料-2-16
2. 4	土木施設配置計画	• • • • •	資料-2-19
2. 5	機械電気施設配置計画	• • • • •	資料-2-30
2. 6	サンドバイパス工法比較	• • • • •	資料-2-31

2.1 基本条件

2.1 基本条件

(1) サンドバイパスシステムの目的

第3回福田漁港・浅羽海岸サンドバイパス検討委員会における固定式ジェットポンプによる目標サンドバイパス量は、図-2.1(1)に示すように、**基本案として港外から 60,000m³、港口航路部から 20,000m³を採取する計画**としていた。後述するように、港口航路部からの 20,000m³のサンドバイパスを期待せずに、港外からの 80,000m³のサンドバイパスを行う図-2.1(2)に示す計画とした。

(2) サンドバイパスの基本計画

第3回福田漁港・浅羽海岸サンドバイパス検討委員会における固定式ジェットポンプによる目標サンドバイパス量は、図-2.1(1)に示すように、**基本案として港外から 60,000m³、港口航路部から 20,000m³を採取する計画**としていた。後述するように、港口航路部からの 20,000m³のサンドバイパスを期待せずに、港外からの 80,000m³のサンドバイパスを行なう図-2.1(2)に示す計画とした。



図-2.1(1) サンドバイパスの基本計画案

(第3回検討委員会)

港口航路部からの採取方法として、図-2.1(3)に示すジェットポンプは、年間数回地上に引揚げて維持管理を行うため、図-2.1(4)に示すように採取用栈橋の基礎杭を利用して施設を設置する必要がある。港口航路部では、航路障害となるため、港外側と同様な採取用栈橋等の設置は困難である。年間数回の移動が必要な給水管や排砂管を海底に敷設することは、**メンテナンス期間中に、航路を閉鎖することになり、港湾利用上がる**のも好ましい状態ではないと推察される。ジェットポンプ、給水管、排砂管を海底土中に埋設する案は、現状技術では国内外に事例がなく、開発費等を含めたコスト面からも実現は困難であると考えられる。

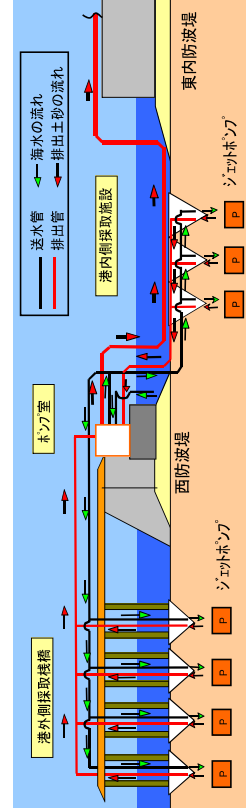


図-2.1(3) サンドバイパスシステム基本案 (第3回検討委員会)

陸上から土砂を採取する方法として、アメリカ合衆国フロリダ州の事例があり、図-2.1(5)に示すように固定旋回クレーンのブームを搭載する方法が考えられる。図-2.1(6)に示すように、港口航路部の幅員100mをカバーできるブームの設置は、ジブクレーンやタワークレーンの能力としては可能であるが、福田漁港港口への大規模ブームによる採取設備の設置は、困難であると考えられる。

海上から土砂を採取する方法として、從来からのグラブ浚渫船やポンプ浚渫船による方法がある。マイクロポンプ船を常駐させておく方法も考えられるが、ポンプ船本体の転航は容易であり、航路障害となることはないが、排砂管ライン等が航路の障害となることが予測される。海中において土砂を採取する方法として、図-2.1(7)、(8)に示すような浚渫ロボットや水中ブルドーザー、水中ハックホウ等の水中作業機械による方法が考えられる。いずれも支援台船や交通船等が必要であり、水中で土砂を採取する機械設備だけではなく、これらの作業船団を常駐しての土砂採取は、**航路障害を引きさす実施すること**は困難であると考えられる。

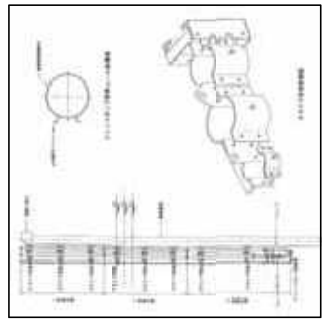


図-2.1(2) サンドバイパスの基本計画案

(第4回検討委員会)

港口航路部からの採取方法として、図-2.1(3)に示すジェットポンプは、年間数回地上に引揚げて維持管理を行うため、図-2.1(4)に示すように採取用栈橋の基礎杭を利用して施設を設置する必要がある。港口航路部では、航路障害となるため、港外側と同様な採取用栈橋等の設置は困難である。年間数回の移動が必要な給水管や排砂管を海底に敷設することは、**メンテナンス期間中に、航路を閉鎖することになり、港湾利用上がる**のも好ましい状態ではないと推察される。ジェットポンプ、給水管、排砂管を海底土中に埋設する案は、現状技術では国内外に事例がなく、開発費等を含めたコスト面からも実現は困難であると考えられる。

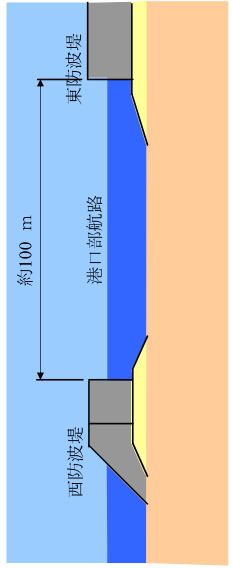


図-2.1(5) 固定旋回ブーム方式

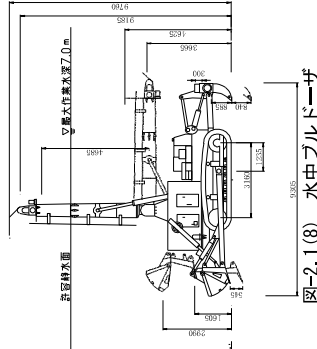


図-2.1(6) 水中ブルドーザー

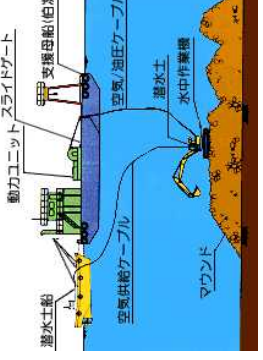


図-2.1(7) 水中ハックホウ

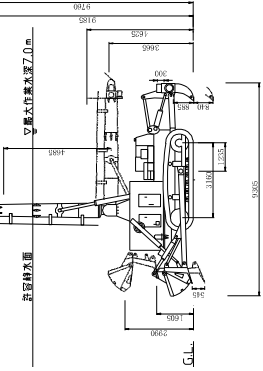


図-2.1(8) 水中ブルドーザー

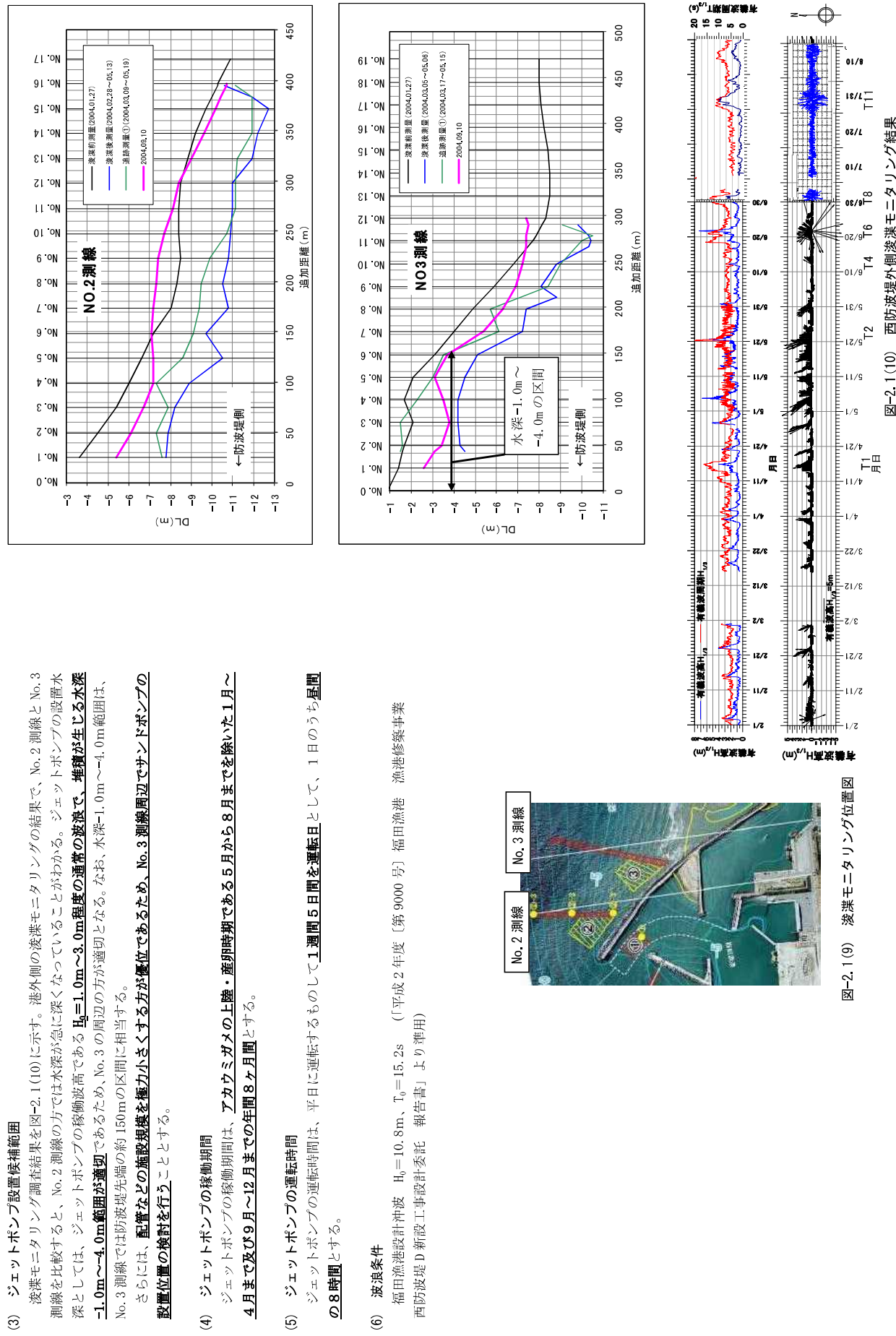


図-2.1(9) 後灘モニタリング位置図

図-2.1(10) 西防波堤外側浚渫モニタリング結果

2. 2 漂砂解析

2. 2 漂砂解析

2. 2. 1. 検討フロー

本検討では、漂砂解析モデルによりサンドバイパスの最適配置計画の検討を行う、漂砂解析モデルとしては種々の手法が実用化されているが、サンドバイパスシステムの設置位置において、平面的に、漂砂量分布や地形変化分布を把握する必要があることから、三次元海浜変形モデルを用いることとする。

ただし、三次元海浜変形モデルは当地点に初めて適用することから、モデルの現地再現性を確認した上で、サンドバイパスの配置計画の検討を行うこととする。

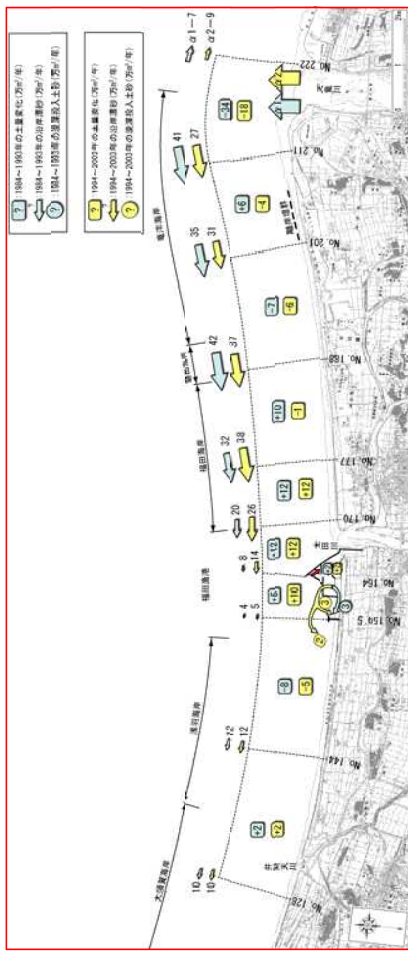
三次元海浜変形モデルによる漂砂解析の検討フローを下図に示す。

- 1. 福田漁港周辺の地形変化特性
 - 広域土砂収支
 - 港内堆積土量の変化
 - 渔港周辺の地形変化

- 2. 三次元海浜変形モデルによる現地再現計算(妥当性の確認)
 - 1996年2月～1997年2月を対象

- 3. サンドバイパスシステムの概略位置の検討
 - 2003年2月を初期地形とした非定常解析
 - 港羽海岸の侵食対策と港内堆砂削減対策の両立に主眼

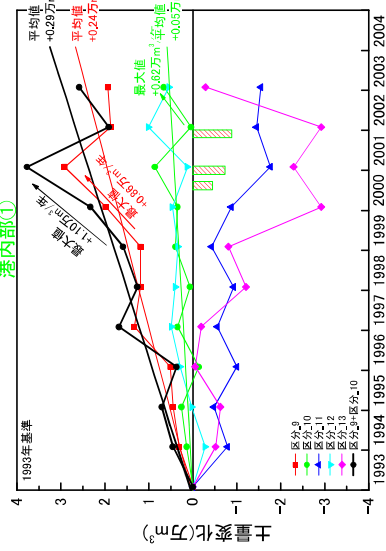
- 4. サンドバイパスシステムの最適配置計画の検討
 - 構造制限上を通過する漂砂量の算定
 - 移動期間中の全通過サンドバイパス量の算定
 - ジェットポンプ設置位置の検討
 - (年間8万m³を確保できる設置位置の検討)
 - 必要ポンプ容量の算定
 - ポンプ規模が最小となる位置の検討



出典：第2回検討委員会資料

2. 2. 2. 福田漁港周辺の地形変化特性

(2) 港内堆積土量の変化
港口部の土量変化（領域9+10）に着目すると、平均値は0.29万m³/年、最大値1.10万m³/年である。したがって、必要堆積土量は、南波浪来襲の変動を考慮しても、1～2万m³/年程度と考えられる。



出典：第2回検討委員会資料

(1) 広域土砂収支
図2.2.2(1)は、天竜川河口から浅羽海岸までの広域土砂収支図を整理したものである。福田漁港においては、測量時期の違いはあるものの、現状を維持するために必要な土量は5～8万m³/年と考えられる。

(3) 福田漁港周辺の地形変化

福田漁港周辺の地形変化の年推移をみると、1998年以降は港口付近6m等深線の位置に大きな変化はないが、沿岸漂砂量はほぼ動的平衡状態に達している。また、修築工事完了後の現況における港内流入砂量は、前ページと同様に、浚渫実績からも1万m³/年程度であったことが推察される。

したがって、港口での堆積が顕著な1996年2月から1997年2月までの期間を再現計算の対象とする。また、本深変化がほぼ動的平衡状態となつた2003年2月の地形条件を将来予測計算に用いる。

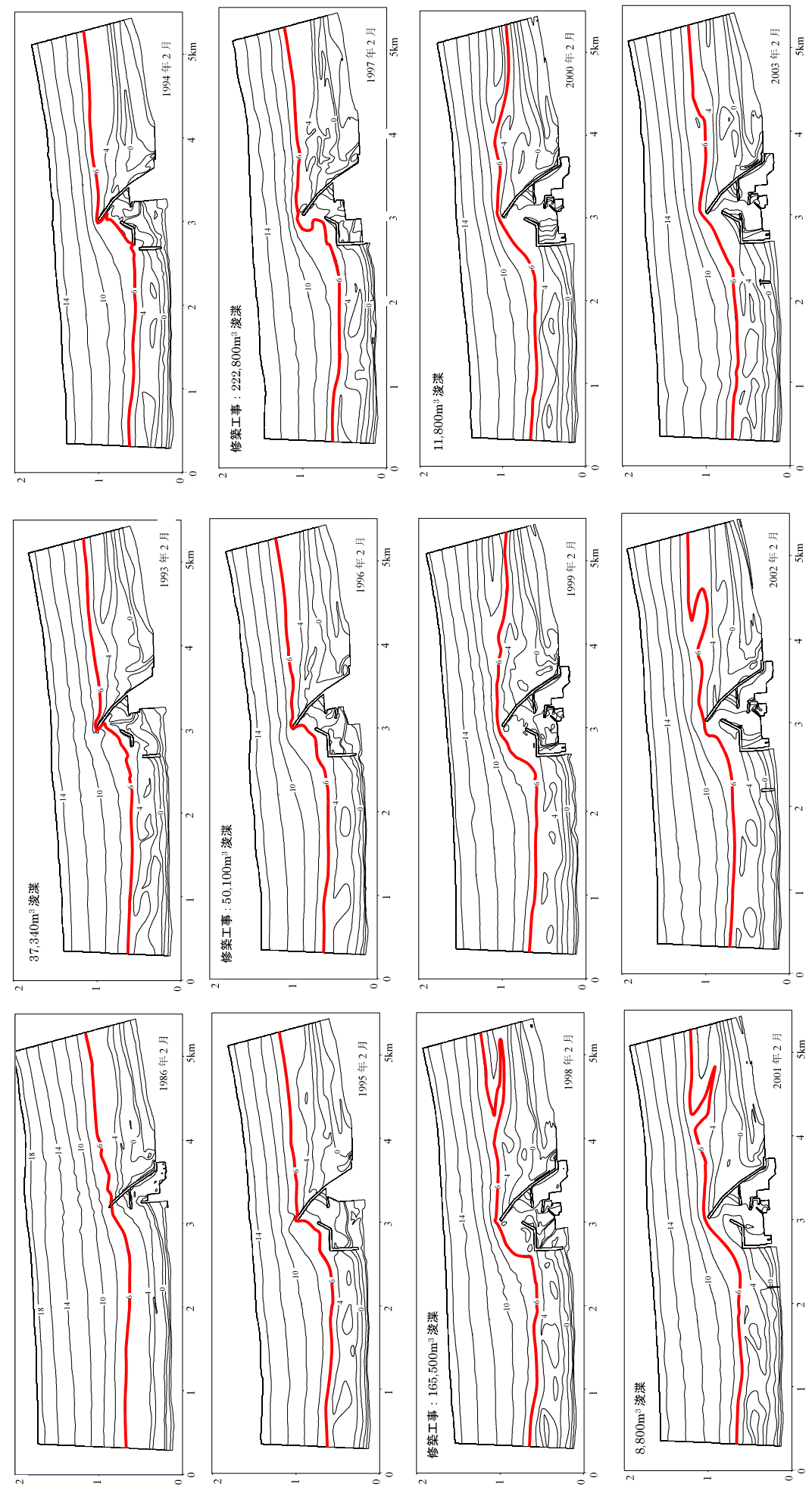
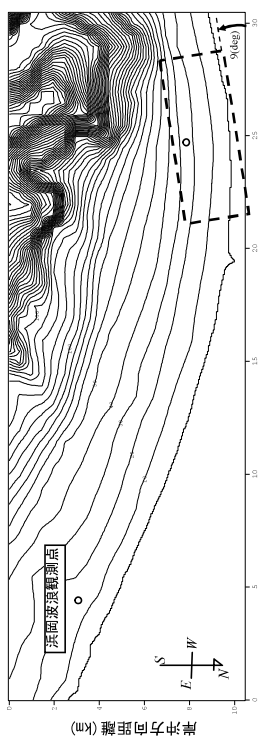


図2.2.2(3) 福田漁港周辺の地形変化の推移

表•2.2.3(2) その他の計算条件

計算領域	
水深データ	1996年7月の深浅測量データ
計算領域(沖方向×沿岸方向)	2.5km×7.5km
格子間隔(岸冲方向×沿岸方向)	
周波数分割	20m×20m
平面波浪場の計算(エネルギー平衡方程式)	
方向分割	10等分(ネルギー分割)
碎波減衰	ビーグ波向±90°を45分割 陳岱(1986)の碎波モデル
海流流量の計算	
底面摩擦	田中・Sane(1996)の流れ共存場の底面摩擦則から中央粒径 D_{50} を粗度として算定
底質中央粒径	$D_{50}=0.3\text{mm}$
水平拡散係数	Larson・Kraus(1991)のモデル, $A=12$.
境界条件	側方, 沖側とともに開境界条件
地形変化の計算	
局所漂砂量モデル	渡辺(1984)のパワーモデル, $B_w=5.0$, $A_c/A_w=10.0$
底面摩擦	流れによる漂砂量 q_{fl} のみを考慮
海底勾配	田中・Sane(1996)の流れ共存場の底面漂砂量を補正($c=1.0$)
急勾配地形条件での局所漂砂量の補正	底面勾配に応じて次式で局所漂砂量を補正
	$q_{\text{af}} = q_{\text{ac}} - \alpha q_{\text{ac}} \left \frac{\partial z}{\partial x} \right _{\text{af}}$

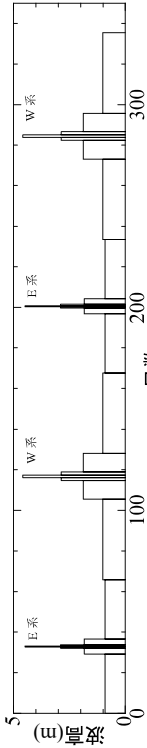


図•2.2.3(1) 三次元モデルによる計算領域(破線)と東洋海岸波浪観測点の位置

表•2.2.3(1) 波高段階、波向別の代表波条件(S90°Eから反時計回りを正)

ALL YEAR	E系波浪						W系波浪							
	波高範囲	波高(m)	周期(s)	θ(deg)	出現日数	波高(m)	周期(s)	θ(deg)	出現日数	波高範囲	波高(m)	周期(s)	θ(deg)	出現日数
<H<0.5	0.43	6.02	14.10	17.0	0.43	5.89	-10.70	12.6						
0.5<H<1.5	0.90	6.39	22.66	117.0	1.01	5.83	-24.82	158.5						
1.5<H<2.5	1.85	8.41	20.85	10.8	1.88	7.95	-26.02	36.8						
2.5<H<3.5	2.91	11.84	11.96	2.8	2.87	10.54	-19.22	5.9						
3.5<H<	4.50	12.69	6.63	0.9	4.59	12.37	-14.00	2.6						
				合計日数	148.5									216.5

表•2.2.3(2) 再現計算に用いた時化モデル



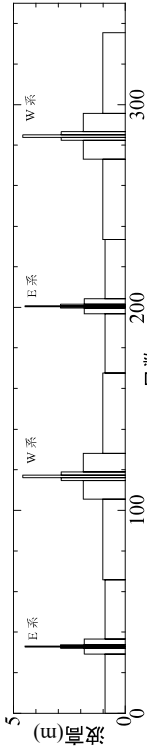
2. 2. 3. 三次元海滨変形モデルによる現地再現計算

(1) 計算条件(時化モデル)の設定
再現対象期間においては、竜洋海岸における波浪データが未取得であるため、浜岡原子力発電所における波浪データから地形変化計算に用いた結果地點(h=25m)における波浪条件を工エネルギー平衡方程式で算定した。1995年から1997年に測定された波浪データは波向データ(90°E)より逆直角を5段階、波向きを2方向に分割して、それぞれの領域における代表波高、波向をエネルギー平均値として算定した。

さらに、E系、W系の時化が一年に2回ずつ来襲した条件を想定して時化モデルを作成した。また、波高50cm以下の来襲波条件を無視した。

図•2.2.3(1) 三次元モデルによる計算領域(破線)と竜洋海岸波浪観測点の位置

表•2.2.3(2) 再現計算に用いた時化モデル



(2) 再現計算結果
再現計算の結果、予測値の方が実測値よりも港口での堆積域が狭くなり、その分局所的な堆積量は大きかった。これは、波による漂砂移動や浮遊砂の拡散の影響によるものであると考えられるが、モデルでは考慮できていない。
しかしながら、港口周辺における平均水深の増加量は、実測値で約80cm、計算値(図中赤枠内)で70cm程度となり、堆積傾向に違いはあるものの、平均水深変化量はほぼ一致した。
また、Bw=50とすることで、西側からの年間の堆積量は約22万m³、福田漁港を通過する正味の沿岸漂砂量は約9万m³となり、実測結果(前出の図-2.2(1)参照)とほぼ一致した。

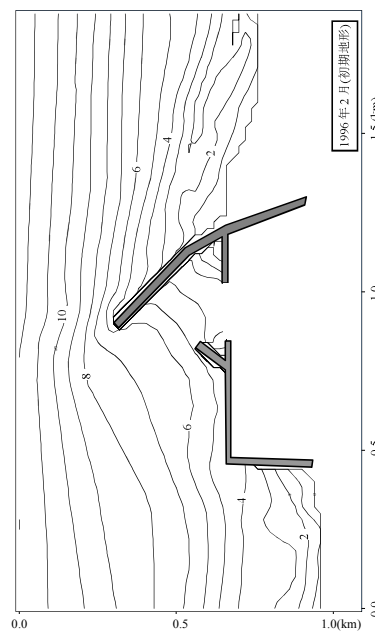
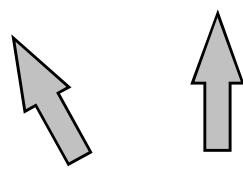
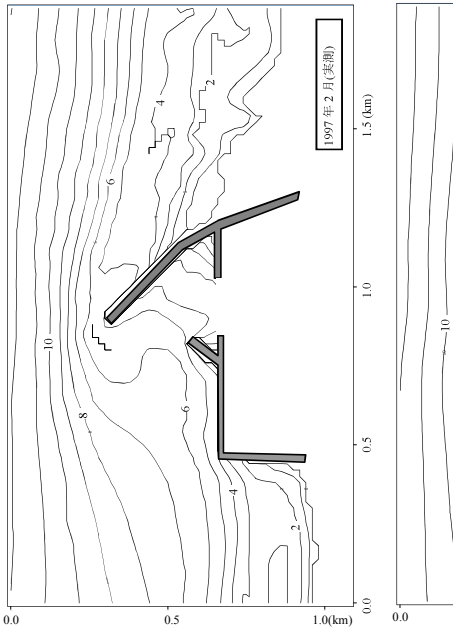


図-2.2.3(3) 福田漁港周辺の地形変化の推移

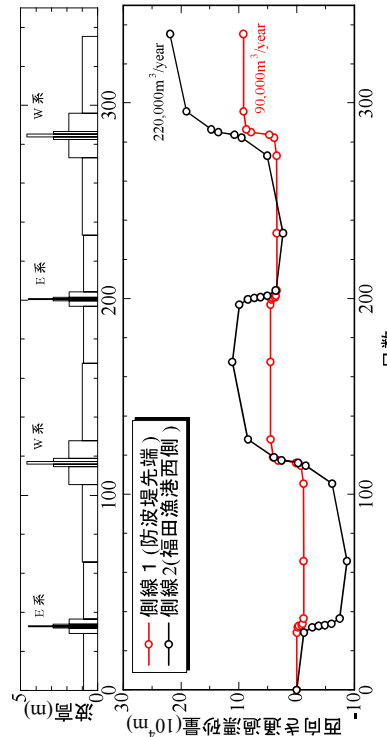


図-2.2.3(5) 時化モデルヒュイー積削線通過土量(東向きを正)の計算値

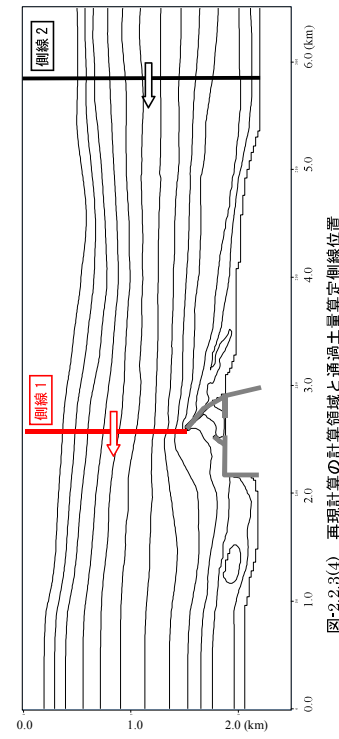


図-2.2.3(4) 再現計算の計算領域と通過土量算定期限位置

2. 2. 4. サンドハイバスシステムの概略位置の検討

(1) 計算条件

1) 入射波条件(時化モデル)の設定
竜洋沖波浪観測点における波浪データから地形変化計算沖側境界地点(h=25m)における波浪条件をエネルギー平衡方程式により算定した。波高を5段階、波向きを2方向に分割して、それぞれの領域における代表波高、波向をエネルギー平均値として算定した。

また、カメの産卵期、サンドハイバス運転停止期の3期間に分割した。なお、波高50cm以下の来襲波浪を無視した。

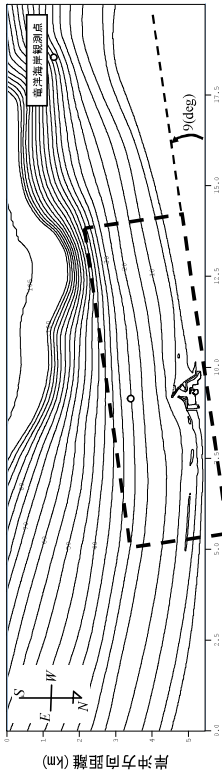


図-2.2.4(1) 波高段階、波向、季節別の代表波条件(S9-E9から反時計回りを正)

表-2.2.4(1) 3次元モデルによる計算領域(破線と童洋海岸波浪観測点の位置)

JAN-APR						
波高範囲	波高(m)	周期(s)	E系波浪	W系波浪	周期(s)	θ(deg)
<H<1.5	0.44	6.33	13.24	5.63	-14.09	3.4
0.5-H<1.5	0.87	6.36	19.38	30.9	0.97	5.22
1.5-H<2.5	1.88	7.84	17.41	3.2	1.84	6.80
2.5-H<3.5	2.86	8.38	11.82	0.4	2.94	8.68
3.5-H<	4.51	9.28	4.45	0.1	3.98	9.31
合計日数		40.3	4.86	0.1	-12.99	7.9
MAY-AUG						
波高範囲	波高(m)	周期(s)	E系波浪	W系波浪	周期(s)	θ(deg)
<H<1.5	0.44	5.88	14.26	5.79	-10.51	2.7
0.5-H<1.5	0.86	6.57	15.41	38.9	0.96	6.30
1.5-H<2.5	1.78	9.11	12.60	4.0	1.91	7.94
2.5-H<3.5	2.94	10.91	4.99	0.6	2.88	10.63
3.5-H<	3.76	11.86	2.59	0.1	4.66	12.18
合計日数		48.4	4.86	0.1	-7.15	1.2
SEP-DEC						
波高範囲	波高(m)	周期(s)	E系波浪	W系波浪	周期(s)	θ(deg)
<H<1.5	0.42	6.03	16.05	0.43	5.66	-16.22
0.5-H<1.5	0.89	6.60	21.43	50.9	0.91	5.30
1.5-H<2.5	1.84	8.58	15.66	2.2	1.85	7.15
2.5-H<3.5	2.75	10.31	14.47	0.3	2.87	8.71
3.5-H<	4.26	10.13	14.18	0.5	3.56	9.07
合計日数		61.6	4.86	0.1	-5.96	0.1

3) その他の計算条件

表-2.2.4(2) 3次元海滨変形モデルの計算条件

構造物	
水深データ	2003年2月の深さ測量データ
	<small>（注）1. 地形は2003年2月の測量データを用いており、測量範囲は2km四方である。 2. 深さデータは、測量範囲内に設置された測量点の平均値を用いており、測量範囲外は、測量範囲内での測量結果を外挿する。 3. 深さデータは、測量範囲内に設置された測量点の平均値を用いており、測量範囲外は、測量範囲内での測量結果を外挿する。 4. 深さデータは、測量範囲内に設置された測量点の平均値を用いており、測量範囲外は、測量範囲内での測量結果を外挿する。 5. 深さデータは、測量範囲内に設置された測量点の平均値を用いており、測量範囲外は、測量範囲内での測量結果を外挿する。</small>
計算領域(沖の方)×沿岸方面)	2.5km×7.2km
格子間隔(沖の方)×沿岸方面)	20m×20m
計算領域の性質(ネルギー分散法)	半開放型
周波数分割	10種エネルギー一分割
万能分割	10種エネルギー一分割
波浪減衰	波浪減衰
海底摩擦	海底摩擦
底面摩擦	底面摩擦
底面粗度	△h=0.2mm
水深粗度	Larsen-Kausel(1991)のモデル、I=12
底面条件	海アリ沖側固定
構造化の裏	構造化
周波数モード	周波数モード
局所無量モデル	局所無量モデル
底面摩擦	底面摩擦
海底勾配	海底勾配
サンゴケートでの漂砂量補正	$q_{\text{so}} = q_{\text{so}} - d_{\text{so}} \frac{C_{\text{so}}}{C_{\text{so}}}$
SBP条件での地形変化計算	SBP条件での地形変化計算

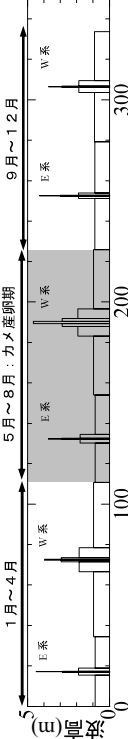


図-2.2.4(2) 代表波浪条件による時化モデル

2) 検討ケース

- case0：現況
- case1：現況+サンドハイバスボンプを図-2.2.4(3)のAに設置
- case2：現況+サンドハイバスボンプを図-2.2.4(3)のBに設置
- case3：現況+サンドハイバスボンプを図-2.2.4(3)のCに設置

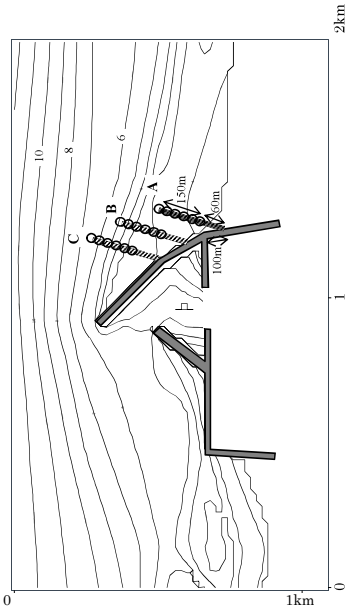


図-2.2.4(3) サンドハイバスの設置位置

(2) 計算結果
影響範囲が拡大し、5年後には港周辺にも現況時とサンドバイパスポンプ設置時の間に有意な差が見れた。

Aで11cm程度、BおよびCで18cm程度となつた(図-2.2.4(7)参照)。

また、一年間の時化モデルのうち、カメの産卵期間における港周辺における平均水深の変化量は、5年後でも設置位置起こすW系の波高が他の期間に比べても大きかった(図-2.2.4(5))。

3年後および5年後における現況との水深差分を見ると、サンドバイパスポンプ設置地点の沖側、水深5m付近で堆積する傾向が見られた(図-2.2.4(8)参照)。これは、サンドバイパスポンプの設置などによって汀線付近の水深が大きくなることで、西側からの海浜流速が、この付近で急激に低減することによると考えられる。モデルでは、沖側の堆積が波によって汀線際に運ばれる効果が考慮されていないので、この堆積量については過大評価している可能性がある。

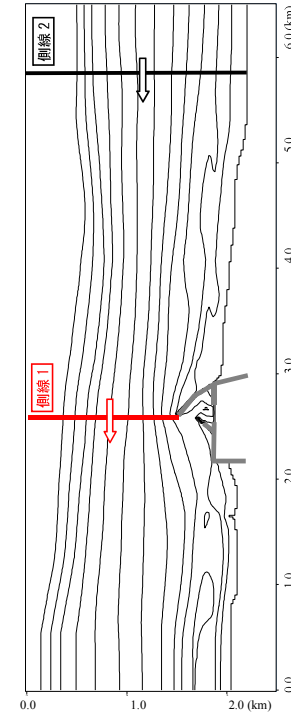
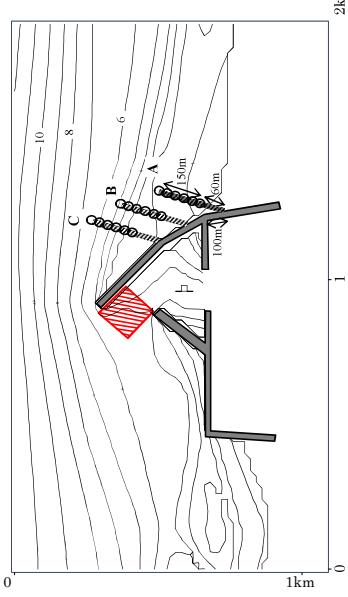


図-2.2.4(4) 将来予測計算の計算領域と通過土量算定期間位置

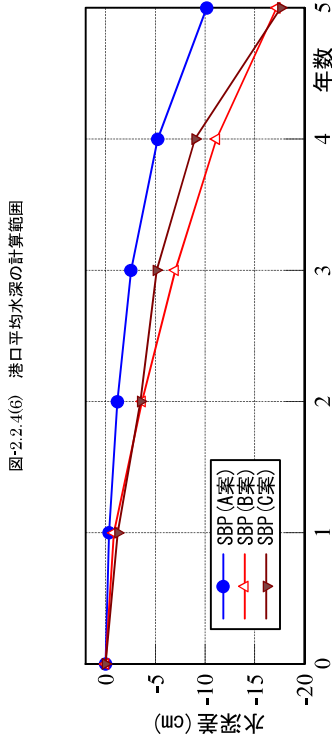


図-2.2.4(6) 港口平均水深の計算範囲

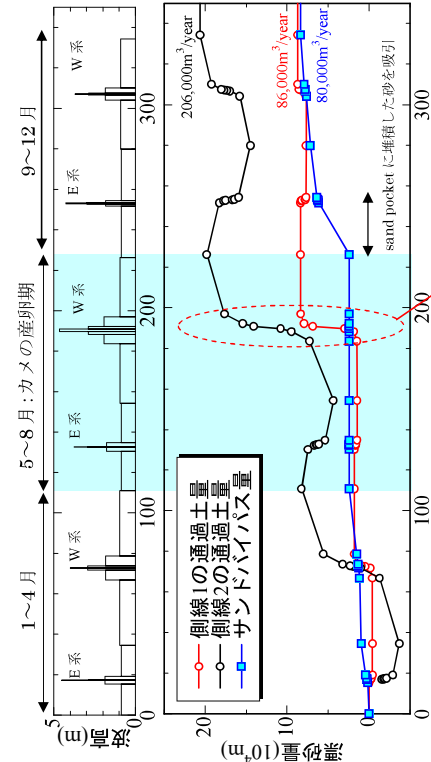


図-2.2.4(5) 1時間中に側線を通過した東向きの累積漂砂量とサンドバイパス量の時間変化(case1)

図-2.2.4(8) サンドバイパスポンプ設置時(case1,2&3)と現況(case0)との水深変化量の差

$-2 \sim +2$ (m)

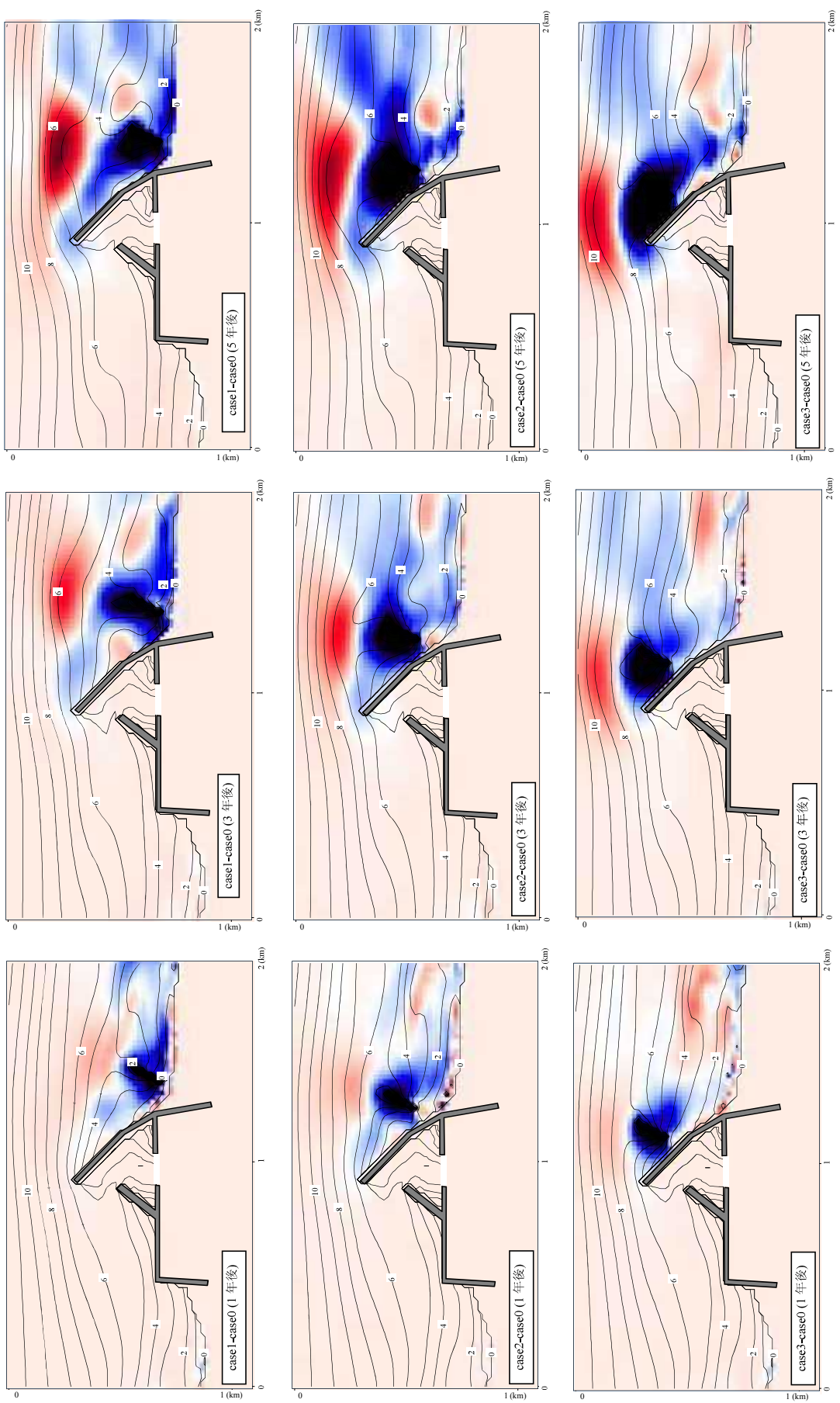


表 2.2.4(4) 計算条件

計算領域	
水深データ	2003年2月の深浅測量データ
計算領域(岸沖方向×沿岸方向)	1.8km×4.5km(図)
格子間隔(岸沖方向×沿岸方向)	
周波数分割	10m×10m
平面波浪場の計算(放射型波動方程式)	
方向分割	10等エネルギー分割
ビーグ波向き±10°を45分割	
磯部(1986)の碎波モデル	
地形変化の計算	
周所漂砂量モデル	渡辺ら(1984)のバワーモデル, $Bw=5.0$
底面摩擦	田中・山田(1996)の波・流れ共存場の底面摩擦則から中央粒径 D_{50} を粗度として算定
港内流入砂量の算定	波による漂砂量 q_w のうち、港口の側線上を通過する黒砂量 q_g を側綫に沿つて積分

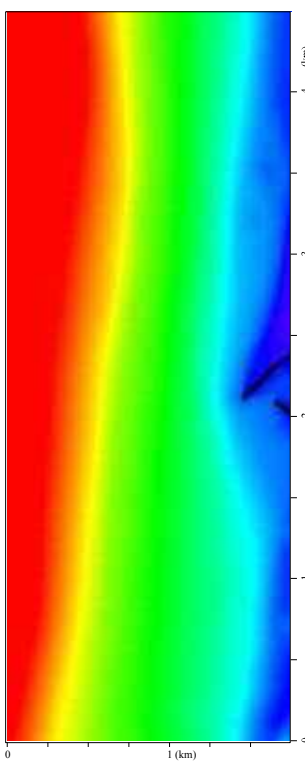


図 2.2.4(10) 計算領域図

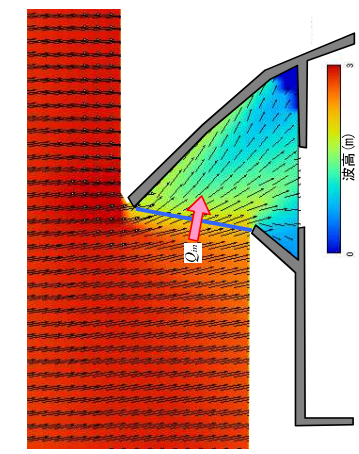


図 2.2.4(11) 波浪場計算による波向きベクトル(H=2.92m, T=9.4s)と港内流入砂量の算定側綫位置(図中青線)と

(3) 港内流入砂量の推定

1) 計算方法

防波堤背後の回折波を適切に算定できる放物型波動方程式を用いて、港口周辺の平面波浪場を算定した。入射波条件は、将来予測解析と同じく竜洋海岸における1999年から2002年までの4年間の波浪データを用いて推算した。

また、竜洋海岸の波浪条件から福田漁港沖における波浪条件を推算し、得られた波浪データに対して算定した。港幅を5段階、波向きを2方向に分割して、それぞれ代表波高、波向をエネルギー平均値として算定した。(表2.2.4(3)参照)。

港内の堆積砂の粒径には、中央粒径で0.1～0.3mm程度と港外側の粒径と大きな差異はないため、港内流入砂量についても渡辺ら(1984)のバワーモデルを用いて概略算定した。ただし、波による漂砂移動量についても考慮した。港口の平均水深を増減させた条件下同様の計算を行い、港口の水深変化量に伴う港内流入砂量を比較した。

2) 計算結果

現況(港口の水深変化量ゼロ)における港内流入砂量は $Bw=5.0$ の条件では約10,000m³/年であった。現況とサンドハイパスボンプを設置した場合との5年後の港口の平均水深の差は、設置位置Aで11cm程度、設置位置BとCで18cm程度であった。このときの港内流入砂量の低減率は、設置位置Aで約18%、設置位置BとCで約26%であることが推定される。

これらのことから、漂砂解析の観点で、邊羽海岸の海岸侵食対策と福田漁港の港内堆砂低減対策を両立させるためには、設置位置Bの案が有利であると考えられる。

表 2.2.4(3) 波高段階、波向別の代表波条件(SBPから反時計回りを正)

ALL YEAR						
波高範囲	E系 波浪	W系 波浪				
	波高(m)	周期(s)	θ(deg)	出現日数	波高(m)	周期(s)
<H< 0.5	0.43	6.08	0.44	14.90	0.59	-14.10
0.5<H< 1.5	0.87	6.53	18.92	119.7	0.95	-22.83
1.5<H< 2.5	1.83	8.55	14.91	9.4	1.87	-26.07
2.5<H< 3.5	2.92	9.94	9.36	1.4	2.90	-20.92
3.5<H<	4.22	10.24	10.85	0.4	4.50	11.38
合計日数		149.3			-17.40	1.6
合計日数						215.7

ALL YEAR

波高範囲

E系 波浪

W系 波浪

θ(deg)

出現日数

波高(m)

周期(s)

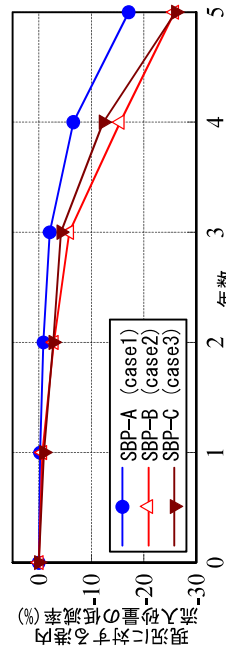


図 2.2.4(9) 現況時にに対するSBP設置時の港内流入砂量の低減率推定値